

I-3 非定常浸透流に関する実験

徳島大学工学部 正員 尾島 勝
徳島大学大学院 学生員 ○荒木一郎

1. まえがき； 浸透流の非定常性は、その水理機構の解明の重要な鍵を握るものとして、今日とくに注目を集めている。われわれは、低平地浅層地下水を対象として、非定常性の評価を、その水位変動量と流入流出量に注目して行なっている。本報告では、地形状態、外水位変動条件など種々の要素が自由地下水の変動と流動に対する影響の定性的ならびに定量的評価を、大型可変二ラ配浸透流実験水路を用いて行なった実験結果に基づいて述べる。すなはち、砂層と次元モデルにおいて、不透水層：二ラ配、初期溝水層厚、外水位変動量、初期孔水（初期水面：二ラ配）の有無、浸透・排水過程など、種々の異なる条件に対する詳細な実験を行ない考察する。

2. 低平地地下水変動に及ぼす諸要因； 地下水変動の要因を大別して外的要因および内的要因とよぶことにする。外的要因としては、外水位変動量、初期溝水層厚、初期水面：二ラ配、浸透・排水過程などを含め範囲に入れる。外水位変動条件は、自然的条件と人为的条件に別けられ、前者は降水、潮汐、気圧変化などがあつて、後者は揚水、耕作地の灌漑、工業用水の大口取水・排水、ダム放流などが考えられる。いずれの場合も、結局は外水位変動に呼応して地下水面変動を生じることになる。初期溝水層の厚さは乾期、雨期の地下水変動の遅いに關係するものである。初期水面：二ラ配の有無は、外水位変動に応じて浸透流が生じる場合に、応答の開始以前から定常流れが存在してゐるか否かの違いであって、従来あまり考慮されていなかった要因である。また、外水位と地下水位の相対関係により浸透・排水過程が決まるが、この両過程の相違と水理機構の解明に重要なである。

内的要因としては、地形状態および土質条件をあげる。地形状態としては、不透水層の位置および二ラ配が考えられる。これらにすでに挙げた外的要因の初期溝水層厚と互に連するものである。土質条件としては、溝水層の等方性・異方性、構成土粒子の粒径、粒度、粗度などが挙げられる。これらは土の透水係数、有効間隔率として表現されるが、溝水層の貯留能力や浸透流速に影響を与える。地下水位変動とよび流量変化に密接に関係する重要な要因であることはいうまでもない。しかし、これらを直接的に測定し決定することは實際上困難な点も多く、マクロに把えらる地下水面変動を逆算して求められることが多い。

これまで述べてきた諸要因の地下水面変動に及ぼす影響は、理論式からうかがうことができる。図-1(a)(b)に示すような溝水層モデルを答える。入を不透水層：二ラ配、 K 、入を外れを水透水係数、有効間隔率（一定）、 α を初期水面：二ラ配とすれば、(a)(b)に対する基礎式は、式を表す。

$$\frac{\partial h}{\partial t} = \frac{K}{\lambda} \left[H_0 \frac{\partial^2 h}{\partial z^2} + \frac{\partial^2 h}{\partial x^2} + (l-x)(d-z) \frac{\partial^2 h}{\partial z^2} + (i-d) \frac{\partial^2 h}{\partial x^2} + \left(\frac{\partial h}{\partial x} \right)^2 + \alpha(d-i) \right] \quad (1)$$

$$\frac{\partial h}{\partial z} = \frac{K}{\lambda} \left[H_0 \frac{\partial^2 h}{\partial z^2} - \frac{\partial^2 h}{\partial x^2} + ((z-l)-x)(d-z) \frac{\partial^2 h}{\partial z^2} + (i-2d) \frac{\partial^2 h}{\partial x^2} - \left(\frac{\partial h}{\partial x} \right)^2 + \alpha(d-i) \right] \quad (2)$$

となり、 $d=0$ （I・II・III）の場合について線形化近似して解いた水位変動量 h は式を次式のように表わされる。

$$h(x,t) = h_0 e^{-\frac{i}{2\lambda}(x+\frac{H_0}{2}+i\frac{t}{2})} \sum_{m=0}^{\infty} \left\{ \operatorname{erfc} \left(\frac{(2m+1)l-x}{2\sqrt{\lambda K H_0}} \right) - \operatorname{erfc} \left(\frac{(2m+1)d-x}{2\sqrt{\lambda K H_0}} \right) \right\} \quad (3)$$

$$h(x,t) = h_0 e^{-\frac{i}{2\lambda}(x+\frac{H_0}{2}+i\frac{t}{2})} \sum_{m=0}^{\infty} \left\{ \operatorname{erfc} \left(\frac{(2m+1)x-H_0}{2\sqrt{\lambda K H_0}} \right) - \operatorname{erfc} \left(\frac{(2m+1)d-x}{2\sqrt{\lambda K H_0}} \right) \right\} \quad (4)$$

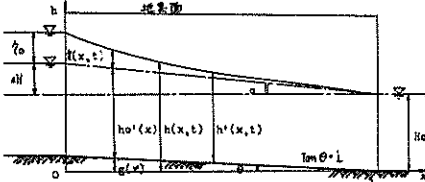


図-1(a) 外水位ステップ上昇の溝水層モデル

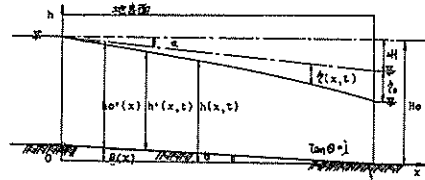


図-1(b) 外水位ステップ下降の溝水層モデル

3. 実験結果； 実験タイプで、(I)水平初期水面として、上流端にステップ上昇を与える、(II)初期水面二ラ配 α を有し、ステップ上昇、(III)水平初期水面として、下流端ステップ下降、(IV) α を有し、ステップ下降の4種である。水位変

動量 ζ による考察は、種々の異なる条件に対するデータを、図中に示す比で表めすことにより行った。不透水層: ラ配 β 、初期流れの有無(Δt の有無)、初期渉水層厚 H_0 、外水位変動量 ζ の影響を、それから図2、図3、図4、図5に示す。また、流入出流量による考察は、単位時間流量(秒)と定常流量(%)との比 $\alpha(\delta-t)$ を用いて行なった。図6に流量比較の一例として、外水位変動量が異なる場合について示す。ところで、式(3)(4)は式(1)(2)中、 $H_0 \frac{\partial H}{\partial x}$ と $(i-d)\frac{\partial H}{\partial x}$ の2項についてのみ考慮した線形化近似解である。したがって、図7にロードカーブの妥当性をみるため、実験値より算出した式(2)中の各項の値を示した。これらに関する詳細な考察結果については、講演時に述べる。

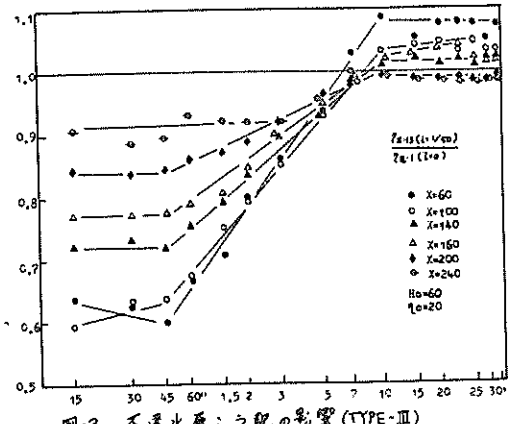


図2 不透水層: ラ配の影響 (TYPE-III)

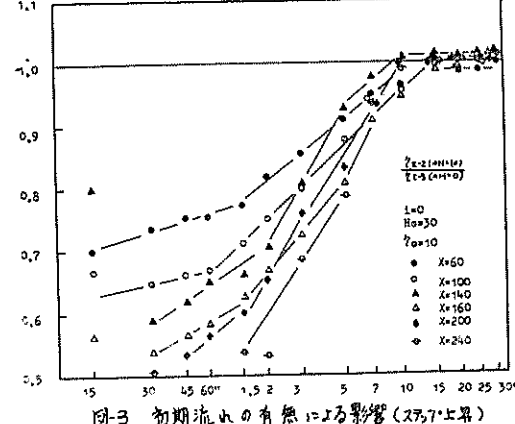


図3 初期流れの有無による影響 (TYPE-II)

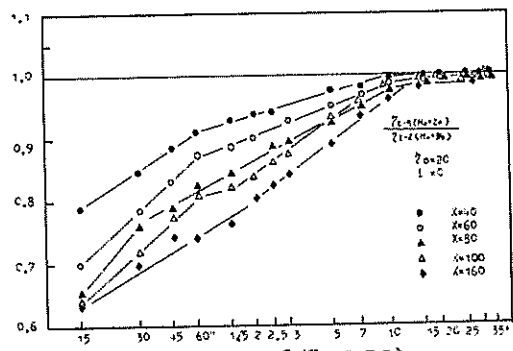


図4 初期渉水層厚の影響 (TYPE I)

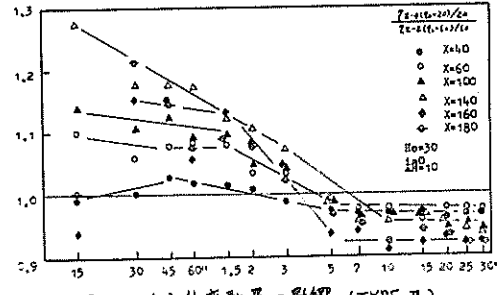


図5 外水位変動量の影響 (TYPE II)

4. あとがき：以上の結果、水位変動において、多寡非定常時に強く影響し、定常時にはその影響が弱く、また変動端より3m地点で最も大きく影響することがわかった。流量変動においては、定常状態への移行の速いが明確となった。一方、式(3)(4)について、線形化近似は充分とはいえないが、定性的には実験結果と傾向が一致する。

今後、上述の結果をふまえた河川相互通涉による地下水運動を考究したい。

参考文献 1)尾島・荒島・荒木：非定常浸透流に関する実験、昭和48年度年次学術講演集(II-17B) 昭和48.10

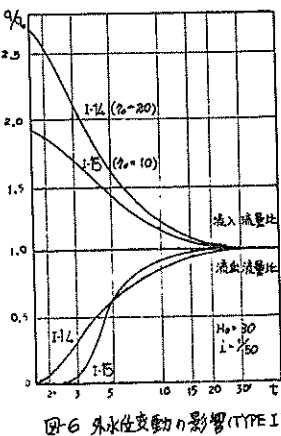


図6 外水位変動量の影響 (TYPE I)

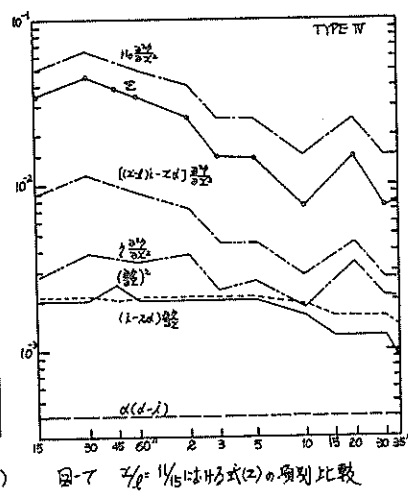


図7 $T_e = 1/(d-t)$ および式(2)の割合比較